

Starkniederschlagshöhen und -spenden gemäß KOSTRA-DWD-2010R

Auswertungszeitraum von 1951 - 2010, Januar - Dezember

Rasterfeld: 61016

Zeile: 61

Spalte: 16

Seite: 1/2

| Dauerstufe D | Wiederkehrzeit T | | | | | | | | | | | | | | | | | | |
|--------------|------------------|------|------------|------|------------|------|------------|------|------------|------|------------|------|------------|------|------------|------|------------|-------|------------|
| | 1 a | | 2 a | | 3 a | | 5 a | | 10 a | | 20 a | | 30 a | | 50 a | | 100 a | | |
| min | Std | mm | l / (s ha) | mm | l / (s ha) | mm | l / (s ha) | mm | l / (s ha) | mm | l / (s ha) | mm | l / (s ha) | mm | l / (s ha) | mm | l / (s ha) | mm | l / (s ha) |
| 5 | | 5,0 | 166,7 | 6,8 | 226,7 | 7,9 | 263,3 | 9,2 | 306,7 | 11,1 | 370,0 | 12,9 | 430,0 | 14,0 | 466,7 | 15,4 | 513,3 | 17,2 | 573,3 |
| 10 | | 8,0 | 133,3 | 10,5 | 175,0 | 12,0 | 200,0 | 13,8 | 230,0 | 16,3 | 271,7 | 18,7 | 311,7 | 20,2 | 336,7 | 22,0 | 366,7 | 24,5 | 408,3 |
| 15 | | 10,1 | 112,2 | 13,1 | 145,6 | 14,8 | 164,4 | 16,9 | 187,8 | 19,9 | 221,1 | 22,9 | 254,4 | 24,6 | 273,3 | 26,7 | 296,7 | 29,7 | 330,0 |
| 20 | | 11,6 | 96,7 | 14,9 | 124,2 | 16,9 | 140,8 | 19,3 | 160,8 | 22,7 | 189,2 | 26,0 | 216,7 | 28,0 | 233,3 | 30,4 | 253,3 | 33,8 | 281,7 |
| 30 | | 13,6 | 75,6 | 17,6 | 97,8 | 19,9 | 110,6 | 22,8 | 126,7 | 26,8 | 148,9 | 30,8 | 171,1 | 33,1 | 183,9 | 36,0 | 200,0 | 40,0 | 222,2 |
| 45 | | 15,4 | 57,0 | 20,1 | 74,4 | 22,9 | 84,8 | 26,4 | 97,8 | 31,1 | 115,2 | 35,8 | 132,6 | 38,6 | 143,0 | 42,1 | 155,9 | 46,8 | 173,3 |
| 60 | | 16,5 | 45,8 | 21,8 | 60,6 | 25,0 | 69,4 | 28,9 | 80,3 | 34,3 | 95,3 | 39,6 | 110,0 | 42,7 | 118,6 | 46,7 | 129,7 | 52,0 | 144,4 |
| 90 | | 18,2 | 33,7 | 23,7 | 43,9 | 26,9 | 49,8 | 30,9 | 57,2 | 36,3 | 67,2 | 41,8 | 77,4 | 44,9 | 83,1 | 48,9 | 90,6 | 54,4 | 100,7 |
| 120 | 2 | 19,6 | 27,2 | 25,1 | 34,9 | 28,3 | 39,3 | 32,4 | 45,0 | 37,9 | 52,6 | 43,4 | 60,3 | 46,6 | 64,7 | 50,7 | 70,4 | 56,2 | 78,1 |
| 180 | 3 | 21,6 | 20,0 | 27,2 | 25,2 | 30,5 | 28,2 | 34,7 | 32,1 | 40,3 | 37,3 | 45,9 | 42,5 | 49,2 | 45,6 | 53,3 | 49,4 | 58,9 | 54,5 |
| 240 | 4 | 23,2 | 16,1 | 28,9 | 20,1 | 32,2 | 22,4 | 36,4 | 25,3 | 42,1 | 29,2 | 47,8 | 33,2 | 51,1 | 35,5 | 55,3 | 38,4 | 61,0 | 42,4 |
| 360 | 6 | 25,7 | 11,9 | 31,5 | 14,6 | 34,8 | 16,1 | 39,1 | 18,1 | 44,9 | 20,8 | 50,7 | 23,5 | 54,1 | 25,0 | 58,4 | 27,0 | 64,2 | 29,7 |
| 540 | 9 | 28,4 | 8,8 | 34,3 | 10,6 | 37,7 | 11,6 | 42,1 | 13,0 | 48,0 | 14,8 | 53,9 | 16,6 | 57,3 | 17,7 | 61,7 | 19,0 | 67,6 | 20,9 |
| 720 | 12 | 30,4 | 7,0 | 36,4 | 8,4 | 39,9 | 9,2 | 44,3 | 10,3 | 50,3 | 11,6 | 56,3 | 13,0 | 59,8 | 13,8 | 64,2 | 14,9 | 70,2 | 16,3 |
| 1080 | 18 | 33,6 | 5,2 | 39,7 | 6,1 | 43,3 | 6,7 | 47,8 | 7,4 | 53,9 | 8,3 | 60,0 | 9,3 | 63,5 | 9,8 | 68,0 | 10,5 | 74,1 | 11,4 |
| 1440 | 24 | 36,1 | 4,2 | 42,3 | 4,9 | 45,9 | 5,3 | 50,4 | 5,8 | 56,6 | 6,6 | 62,8 | 7,3 | 66,4 | 7,7 | 70,9 | 8,2 | 77,1 | 8,9 |
| 2880 | 48 | 45,8 | 2,7 | 53,0 | 3,1 | 57,3 | 3,3 | 62,6 | 3,6 | 69,8 | 4,0 | 77,0 | 4,5 | 81,2 | 4,7 | 86,5 | 5,0 | 93,7 | 5,4 |
| 4320 | 72 | 52,7 | 2,0 | 60,5 | 2,3 | 65,1 | 2,5 | 70,8 | 2,7 | 78,6 | 3,0 | 86,5 | 3,3 | 91,0 | 3,5 | 96,8 | 3,7 | 104,6 | 4,0 |

Angaben in mm: Bemessungsniederschlagswerte h(n)

Angaben in l / (s ha): Regenspende R(n) mit $R(n) = h(n) \times 1,666667 / D[\text{min}]$

Toleranzbereiche:

+/- 10 % für $1 a \leq T \leq 5 a$

+/- 15 % für $5 a < T \leq 50 a$

+/- 20 % für $50 a < T \leq 100 a$

Datenbasis: KOSTRA-DWD-2010R des Deutschen Wetterdienstes. Die Regenspende wurde auf Basis des Bemessungsniederschlags zur jeweiligen Andauer berechnet.

Für die Richtigkeit und Aktualität der Angaben wird keine Gewähr übernommen. Erstellt 07/2022.

Starkniederschlagshöhen und -spenden gemäß KOSTRA-DWD-2010R

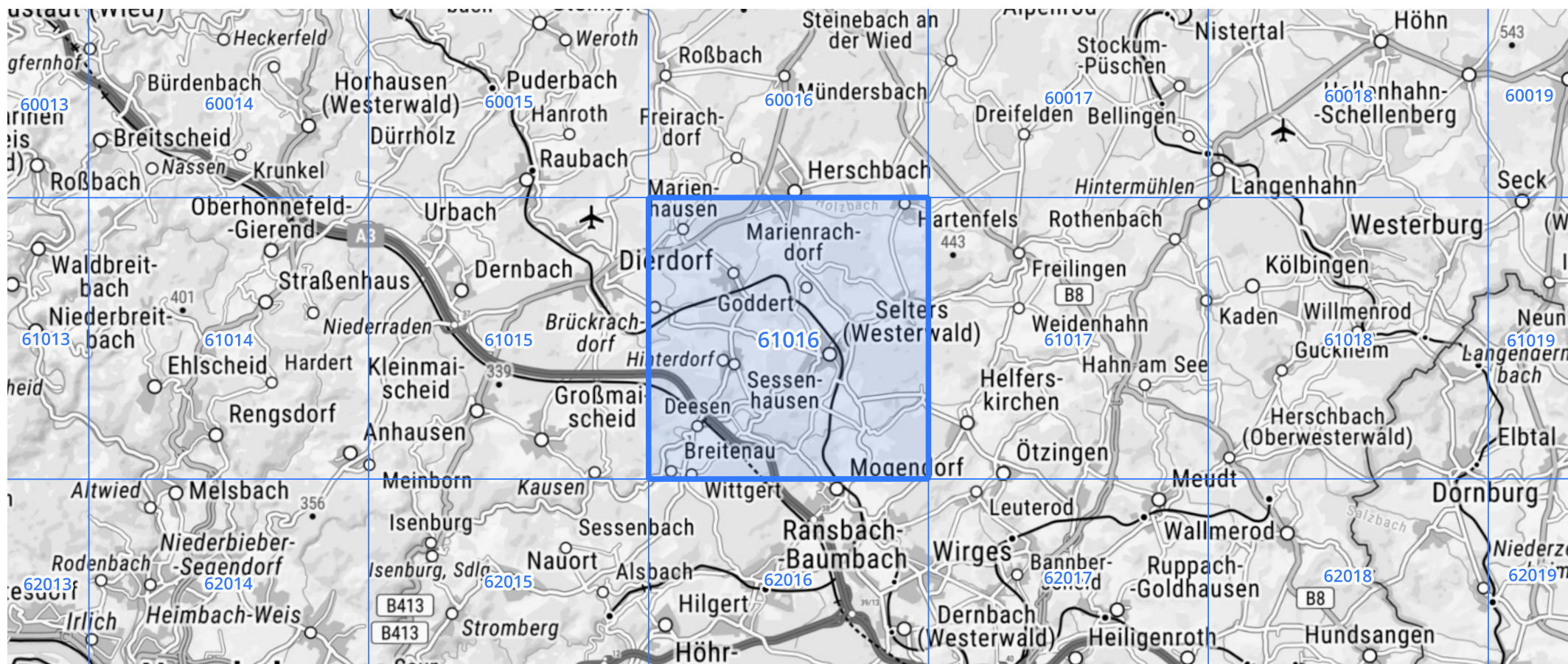
Auswertungszeitraum von 1951 - 2010, Januar - Dezember

Rasterfeld: 61016

Zeile: 61

Spalte: 16

Seite: 2/2



Quelle Rasterdaten: KOSTRA-DWD-2010R des Deutschen Wetterdienstes.

Kartendarstellung: © Bundesamt für Kartographie und Geodäsie (2022), Datenquellen: https://sgx.geodatenzentrum.de/web_public/gdz/datenquellen/Datenquellen_TopPlusOpen.html

Für die Richtigkeit und Aktualität der Angaben wird keine Gewähr übernommen. Erstellt 07/2022.